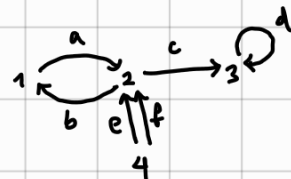


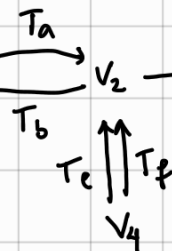
La conjetura "optimista" de Lekili & Polishchuk

§ Representaciones de carcajes

Carcaj = gráfica dirigida:



Representación de un carcaj: $V_1 \xrightarrow{T_a} V_2 \xrightarrow{T_c} V_3 \xrightarrow{T_d} V_4$



V_i : espacio vectorial

T_x : transformación
lineal

(Isomorfismo de representaciones: $\varphi_i : V_i \xrightarrow{T_a} V_j$

$$\begin{matrix} v_i & \xrightarrow{T_a} & v_j \\ \varphi_i \downarrow & = & \downarrow \psi_j \\ w_i & \xrightarrow{s_a} & w_j \end{matrix}$$

φ_i, ψ_j : isomorfismos
lineales

Ejemplos

$$(1) \quad \begin{matrix} V_1 & \xrightarrow{T} & V_2, \dim V_i < \infty \\ \varphi \downarrow & = & \downarrow \psi \\ W_1 & \xrightarrow[S]{\text{iso}} & W_2 \end{matrix}$$

$$\begin{matrix} K^n & \xrightarrow[A]{\text{elegir bases}} & K^m \\ \Phi \downarrow & = & \downarrow \Psi \\ K^n & \xrightarrow[B]{\text{ }} & K^m \end{matrix}$$

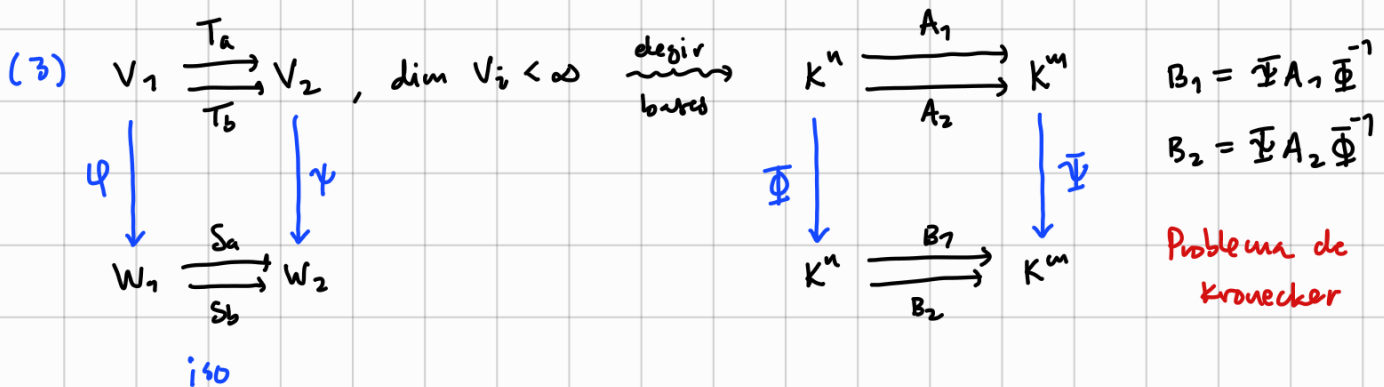
$$B = \Psi A \Phi^{-1}$$

Equivocación de matrices

$$(2) \quad \begin{matrix} V \subset T, \dim V < \infty & \xrightarrow{\text{elegir bases}} & K^n \subset A \\ \varphi \downarrow & & \downarrow \Phi \\ W \subset S & \xrightarrow[S]{\text{iso}} & K^n \subset B \end{matrix}$$

$$B = \Phi A \Phi^{-1}$$

similaridad de
matrices
(problema de Jordan)



Observación También es interesante considerar representaciones de carcajes con relaciones:

$$\forall T, T^k = 0, \quad \forall \xrightarrow[T]{S} W, ST = 0, \text{ etc.}$$

Problema clave "Entender" la categoría de representaciones de un caraj fijo (posiblemente con relaciones).

Hoy en día nos interesa también la categoría derivada (más adelante)

Carcajes con relaciones asociados a superficies

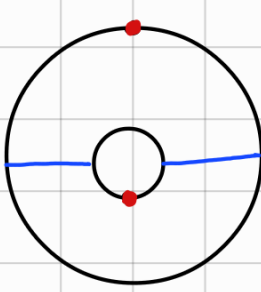
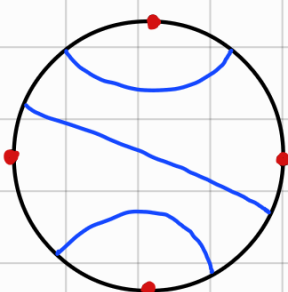
Σ : superficie orientada, conexa y $\partial\Sigma \neq \emptyset$

$\Delta \subset \partial\Sigma$: conjunto finito de puntos marcados



$L_1, L_2, \dots, L_n \subset \Sigma \setminus \Delta$ arcos encajados con $\partial L_i \subset \partial\Sigma$

tales que $\Sigma \setminus \bigcup L_i$ es una unión disjunta de discos con exactamente m^* punto marcado en su frontera

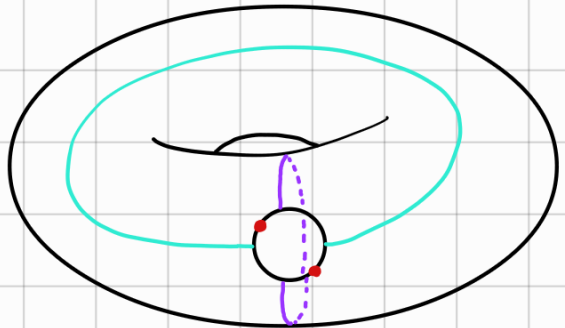
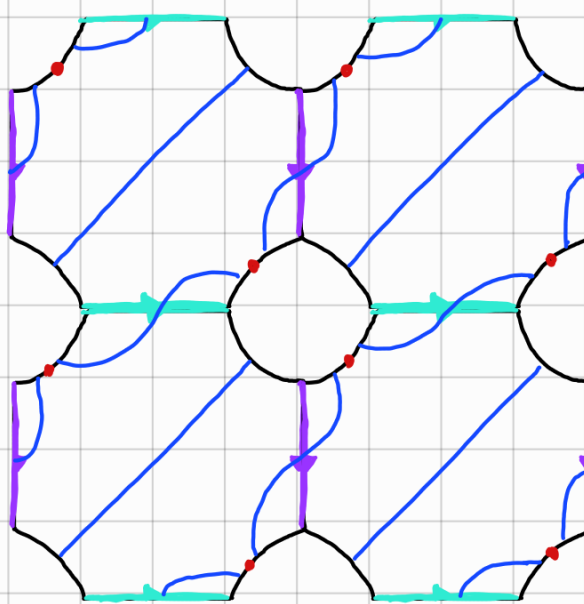


$$\Sigma = D^2$$

$$\Sigma = S^1 \times [0, 1]$$

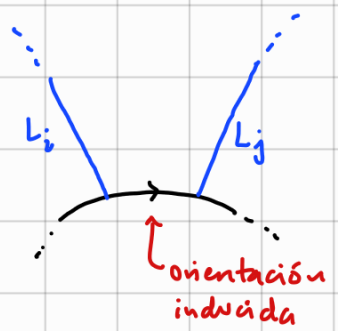
* se puede generalizar al caso en que no hay ningún punto marcado utilizando estructuras A_∞

Un ejemplo más complicado ($\Sigma = (\mathbb{S}^1 \times \mathbb{S}^1) \setminus$ disco abierto):



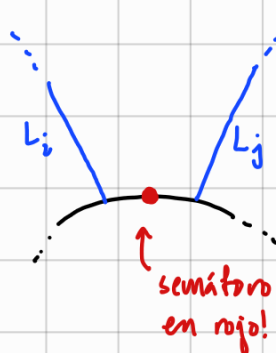
Objetivo Asociar un carcajo a $(\Sigma, \Lambda, L_1, \dots, L_n)$

vértices: $1, \dots, n$ y flechas $i \rightarrow j$ cuando

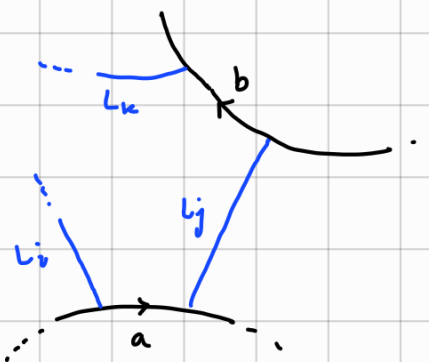


$\Theta_j \Theta: i \xrightarrow{\quad} j$ si

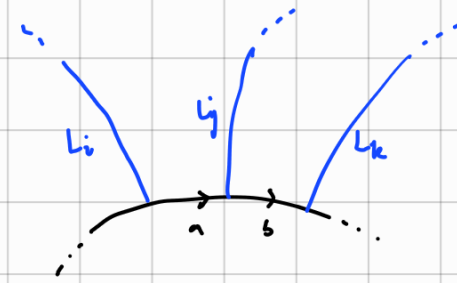
no hay flecha!



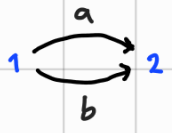
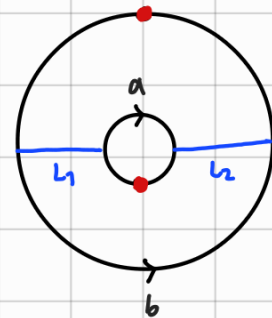
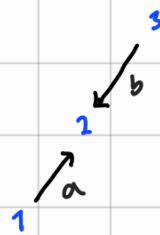
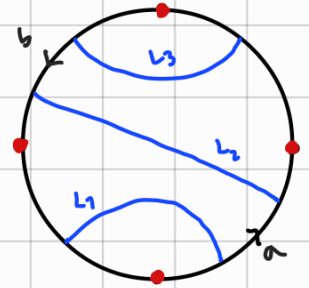
relaciones: $i \xrightarrow{a} j \xrightarrow{b} k$ cuando



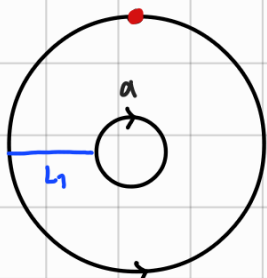
$\Theta_j \Theta: \text{no hay relación } i \xrightarrow{\quad} j \xrightarrow{b} k \text{ si}$



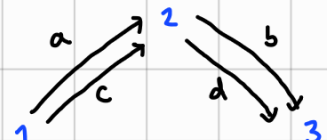
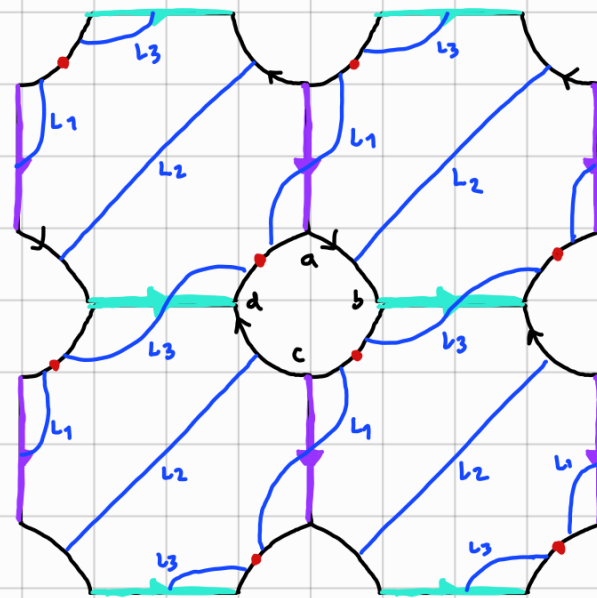
Ejemplos



problema de Kneser



ojo: no hay relaciones
problema de Jordan



$$d \cdot a = 0$$

$$b \cdot c = 0$$

Observación Resulta indispensable considerar carcajes graduados, es decir cada flecha $i \xrightarrow{a} j$ tiene un grado $l a l \in \mathbb{Z}$ (que podemos elegir libremente, pero una vez elegido está fijo)

$$\begin{array}{c} \text{campo de líneas tangentes} \\ \text{Auroux 2010} \\ \text{Haider-Katzarkov-Kontsevich 2017} \\ \text{graduación} \\ \text{Teorema} \end{array} \quad (\Sigma, \Delta, L_1, \dots, L_n, \eta) \xrightarrow{\text{A-HKK}} \mathcal{W}(\Sigma, \Delta, \eta) \xleftarrow{\text{LP}} \mathcal{D}^c(\mathcal{Q}(\Sigma, \Delta), \mathbb{I}-\mathbb{I}_\eta) \quad \begin{array}{c} \text{A-HKK} \\ \text{Lekili-Polishchuk 2019} \end{array}$$

$$\mathcal{W}(\Sigma, \Delta, \eta) \xrightleftharpoons{\cong} \mathcal{D}^c(\mathcal{Q}(\Sigma, \Delta), \mathbb{I}-\mathbb{I}_\eta)$$

categoría de

Fukaya (parcialmente
enrollada)

[complicada]

(geometría simplectica)

categoría

derivada (completa)

[“menos” complicada]

(álgebra lineal y homológica)

§ Conjetura "optimista" de Lekili y Polischuk (2019)

$$w(\Sigma, \Lambda, \gamma) \simeq w(\Sigma', \Lambda', \gamma') \stackrel{?}{\Rightarrow} \exists \Phi: \Sigma \rightarrow \Sigma' \text{ homeomorfismo}$$

$$\Leftarrow \Phi: \Lambda \xrightarrow{1:1} \Lambda' \text{ y } \gamma' \simeq \Phi_*(\gamma)$$

↑ teorema anterior (casi "por construcción" pero no es trivial) ↓ HKK

↑ demostrado en LP 2019

$$D^c(Q(\Sigma, \Lambda), I-\gamma) \simeq D^c(Q(\Sigma', \Lambda'), I-\gamma') \stackrel{?}{\Rightarrow} \gamma \text{ y } \gamma' \text{ tienen los mismos "invariantes numéricos" introducidos por LP.}$$

Problema "Leer" los invariantes numéricos de LP desde $D^c(Q(\Sigma, \Lambda), I-\gamma)$

- $g=0$
- # componentes conexas $\partial_i \Sigma$ de $\partial \Sigma$ y $\#(\Lambda \cap \partial_i \Sigma)$
 - winding numbers de las $\partial_i \Sigma$ (dependen de γ)
 - ⋮
 - invariante de Arf de cierta forma cuadrática (en algunos casos)

$g > 2$
(para $g=1$ es otro)

$$\Sigma: \begin{array}{c} \text{shape} \\ \curvearrowright \end{array} \rightsquigarrow \bar{\Sigma}: \begin{array}{c} \text{shape} \\ \curvearrowright \end{array} \quad \partial \bar{\Sigma} = \emptyset$$

Dicho de otra forma, ¿qué significa γ en términos de $D^c(Q(\Sigma, \Lambda), I-\gamma)$?

Por ahora se sabe lo siguiente:

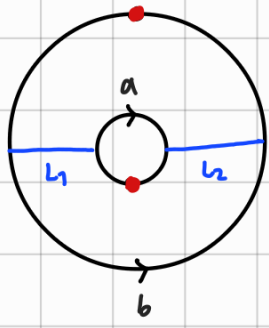
Teorema

(Amiot - Plamondon - Schroll, Opper 2019 arxiv)

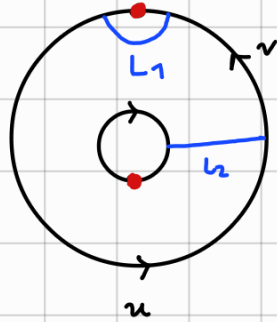
La conjetura es válida cuando $I-\gamma \equiv 0$ y $I-\gamma' \equiv 0$

y al menos un punto en cada componente conexa de $\partial \Sigma$

lo podríamos pedir desde el inicio, pero la conjetura es más general.



\sim

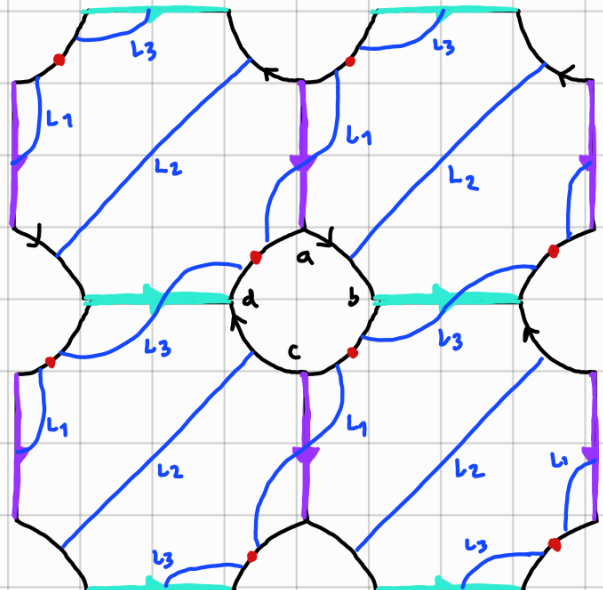


$$1 \xrightarrow[a]{b} 2$$

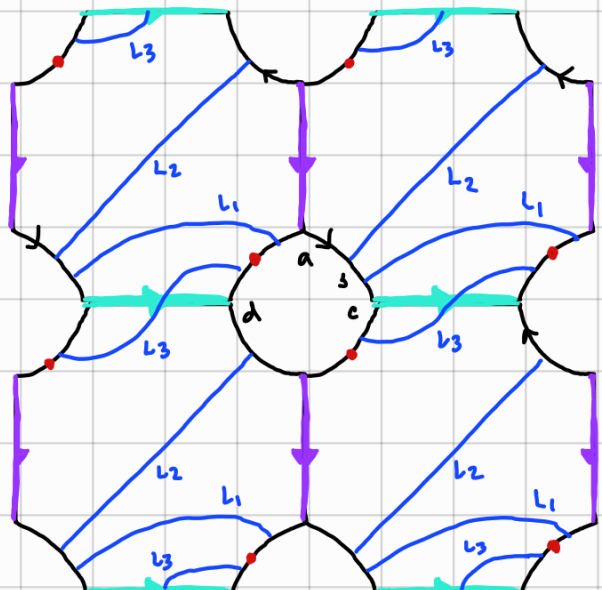
$$|a|=|b|=0$$

$$1 \xrightarrow[u]{v} 2$$

$$|v|=0 \quad |u|=1$$



\sim



$$\begin{matrix} & 2 \\ a & \nearrow \\ 1 & & c & \nearrow \\ & d & \searrow \\ & b & \end{matrix}$$

$$d \cdot a = 0$$

$$b \cdot c = 0$$

$$|a|=|b|=|c|=|d|=0$$

$$\begin{matrix} & 2 \\ a & \nearrow \\ 1 & & c & \nearrow \\ & b & \searrow \\ & d & \end{matrix}$$

$$a \cdot b = 0$$

$$d \cdot a = 0$$

$$|b|=|c|=|d|=0$$

$$|a|=1$$

§ Productos simétricos

$$d \geq 1 \rightsquigarrow \text{Sym}^d(\Sigma) := \underbrace{\Sigma \times \cdots \times \Sigma}_{d \text{ veces}} / \mathfrak{S}_d \quad \text{producto simétrico}$$

$$n_1 p_1 + \cdots + n_k p_k, \quad p_i \in \Sigma, \quad n_i \geq 1 \quad \& \quad n_1 + \cdots + n_k = d$$

$$\Lambda^{(d)} := \bigcup_{p \in \Sigma} \{p\} + \text{Sym}^{d-1}(\Sigma)$$

Auroux 2010: $\mathcal{W}(\text{Sym}^d \Sigma, \Lambda^{(d)})$ categoría de Fukaya (parcialmente enrollada)

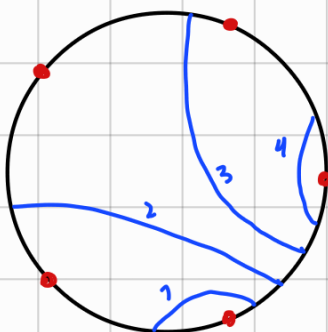
En colaboración con Dyckerhoff y Lekili estudiamos el caso $\Sigma = \mathbb{D}^2$.

En este caso relacionamos $\mathcal{W}(\text{Sym}^d \mathbb{D}^2, \Lambda^{(d)})$ con la categoría derivada de ciertas álgebras de interés en teoría de representaciones.

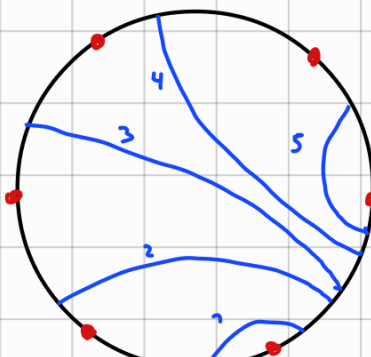
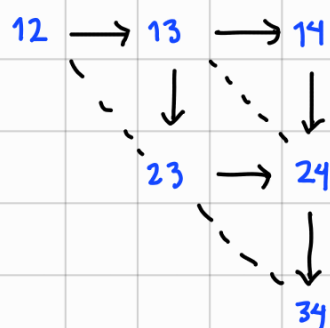
n+1 puntos en $\partial \mathbb{D}^2$

no trivial!

Ejemplo



$$\rightsquigarrow d=2$$



$$\rightsquigarrow d=3$$

